

РАСЧЕТЫ. КОНСТРУИРОВАНИЕ. ИССЛЕДОВАНИЕ ДВИГАТЕЛЕЙ	ANALYSES, DEVELOPMENT AND CONSTRUCTION OF ENGINES
<i>Маслов А.П., Рождественский Ю.В., Левцов М.В.</i> Графоаналитический анализ возможности обеспечения одинакового хода поршней V- и W-образных двигателей с прицепными шатунами	3 <i>Maslov A.P., Rozhdestvensky Yu.V. and Levtsov M.V.</i> Graph-analytic method of crank gear design for V- & W-engines featuring master and slave connecting rods
<i>Федянов Е.А., Левин Ю.В., Шумский С.Н.</i> Использование фазированной подачи малых добавок водорода для улучшения показателей роторного двигателя Ванкеля	9 <i>Fedyanov E.A., Levin Yu.V. and Shumsky S.N.</i> Minor addition of hydrogen to fuel as a means to improve rotary engine performance
СИСТЕМЫ ДВИГАТЕЛЕЙ. АГРЕГАТЫ	ENGINE SYSTEMS AND UNITS
<i>Радченко П.М., Крашенинин В.Е., Макаев М.А.</i> Комбинированный двухэтапный наддув дизель- генератора в переходных режимах	13 <i>Radchenko P.M., Crashenin V.E. and Makaev M.A.</i> Transients in marine engine-generator featuring combined two-stage supercharge system
ТОПЛИВО. СМАЗОЧНЫЕ МАТЕРИАЛЫ	FUEL. LUBRICANTS
<i>Плотников С.А., Кантор П.Я., Мотовилова М.В.</i> Расчет характеристик впрыскивания при работе дизеля на активированном топливе	19 <i>Plotnikov S.A., Kantor P.Ya. and Motovilova M.V.</i> Activated fuel as a means to improve engine performance
ЭКСПЛУАТАЦИЯ И РЕМОНТ ДВИГАТЕЛЕЙ	MAINTENANCE AND REPAIR ISSUES
<i>Бирюков Н.Н., Мудрецов Д.Н., Марков В.А., Поздняков Е.Ф., Карпец Ф.С.</i> Удаление нагара в двигателях внутреннего сгорания с помощью водородно-воздушной смеси	24 <i>Biriukov N.N., Mudretsov D.N., Markov V.A., Pozdniakov E.F. and Karpets F.S.</i> Hydrogen-air mixture injection as a means of carbon deposit removal
<i>Валеев Р.С., Еникеев Р.Д., Сакулин Р.Ю.</i> Повышение стойкости поршней двухтактных ДВС к прогару посредством нанесения МДО-покрытия	30 <i>Valeev R.S., Yenikeev R.D. and Sakulin R.Yu.</i> Micro-weld oxidation as a means to prevent burnout of 2-stroke engine piston
НОВОСТИ ДВИГАТЕЛЕСТРОЕНИЯ	ENGINE BUILDING NEWS
Водород — перспективное топливо для поршневых ДВС (материалы конгресса CIMAC 2019)	35 Hydrogen — up-and-coming fuel for reciprocating engines (based on CIMAC 2019 papers)
ИНФОРМАЦИЯ	INFORMATION
Рефераты статей	54 Synopsis

РЕДАКЦИОННАЯ КОЛЛЕГИЯ:

Л.А. Новиков, главный редактор

ПРЕДПРИЯТИЯ

А.Н. Кострыгин	<i>гл. конструктор</i>	<i>ОАО «Коломенский завод», г. Коломна</i>
В.А. Шелеметьев	<i>зам. техн. директора</i>	<i>ОАО «Коломенский завод», г. Коломна</i>
С.В. Хильченко	<i>техн. директор</i>	<i>ООО «Морские пропульсивные системы», Санкт-Петербурге</i>
А.К. Лимонов	<i>гл. конструктор</i>	<i>АО РУМО, Нижний Новгород</i>
Е.И. Бирюков	<i>гл. конструктор</i>	<i>АО «Барнаултрансмаш», г. Барнаул</i>
А.В. Попов	<i>зам. ген. директора</i>	<i>АО «Волжский дизель им. Маминых», г. Балаково</i>
А.С. Куликов	<i>гл. констр. по двиг.</i>	<i>ПАО КАМАЗ, г. Набережные Челны</i>
В.И. Федышин	<i>директор</i>	<i>ООО МПЦ «Марине», Санкт-Петербург</i>
А.П. Маслов	<i>вед. инж.-конструктор</i>	<i>ООО «ЧТЗ-Уралтрак», г. Челябинск</i>
А.С. Калюнов	<i>начальник ИКЦ</i>	<i>ООО НЗТА, г. Ногинск</i>

НИИ

В.А. Сорокин	<i>зав. отделом</i>	<i>ЦНИИМФ, Санкт-Петербург</i>
В.И. Ерофеев	<i>нач. отдела</i>	<i>I ЦНИИ МО РФ, Санкт-Петербург</i>
В.В. Альт	<i>рук. науч. направления</i>	<i>ГНУ СибФТИ, г. Новосибирск</i>
Ю.А. Микутенок	<i>президент</i>	<i>НПХЦ «Миакрон-Нортон», Санкт-Петербург</i>

ВУЗЫ

В.А. Марков	<i>зав. кафедрой Э-2</i>	<i>МГТУ им. Н.Э. Баумана, Москва</i>
Н.Д. Чайнов	<i>проф. кафедры Э-2</i>	<i>МГТУ им. Н.Э. Баумана, Москва</i>
В.А. Рыжов	<i>проф. кафедры ТМС и САПР</i>	<i>КИ фил. МПУ, г. Коломна</i>
Ю.В. Галышев	<i>проф. ВШ энерг. маш.</i>	<i>СПбПУ Петра Великого, Санкт-Петербург</i>
М.И. Куколев	<i>проф. ВШ гидротех. стр-ва</i>	<i>СПбПУ Петра Великого, Санкт-Петербург</i>
О.К. Безюков	<i>проф. кафедры ТК СДВС</i>	<i>ГУМРФ им. С.О. Макарова, Санкт-Петербург</i>
А.А. Иванченко	<i>зав. кафедрой ДВС и АСЭУ</i>	<i>ГУМРФ им. С.О. Макарова, Санкт-Петербург</i>
Л.В. Тузов	<i>проф. кафедры ТК СДВС</i>	<i>ГУМРФ им. С.О. Макарова, Санкт-Петербург</i>
С.П. Столяров	<i>зав. кафедрой СДВС и ДУ</i>	<i>ГМТУ, Санкт-Петербург</i>
В.К. Румб	<i>проф. кафедры СДВС и ДУ</i>	<i>ГМТУ, Санкт-Петербург</i>
А.В. Смирнов	<i>проф. кафедры Д и ТУ</i>	<i>ВИ(ИТ) ВА МТО, Санкт-Петербург</i>
В.О. Сайданов	<i>проф. кафедры Д и ТУ</i>	<i>ВИ(ИТ) ВА МТО, Санкт-Петербург</i>
А.А. Обозов	<i>проф. кафедры ТД</i>	<i>БГТУ, г. Брянск</i>
А.В. Разуваев	<i>проф. кафедры ЯЭ</i>	<i>БИТИ фил. ФГАОУ МИФИ, г. Балаково</i>

Издатель журнала — ООО «НПФ «Экология», Санкт-Петербург

Журнал «Двигателестроение» включен в Перечень рецензируемых научных изданий, в которых должны быть опубликованы основные научные результаты диссертаций на соискание ученой степени кандидата наук, на соискание ученой степени доктора наук.

Дата включения в обновленный перечень ВАК — 29.05.2017.

Группы научных специальностей:

05.02.00 — Машиностроение и машиноведение

05.04.00 — Энергетическое, металлургическое и химическое машиностроение

05.14.00 — Энергетика

Электронные версии журнала (2005–2020 гг.) размещены на сайте «Научная электронная библиотека» (www.elibrary.ru) и включены в Российский индекс научного цитирования (РИНЦ).

Выпускающий редактор — Н.А. Вольская
Редактор инф. отдела — Г.В. Мельник
Ст. редактор — О.Д. Камнева
Верстка — А.В. Вольский

Сдано в набор 02.06.2020
Подписано в печать 23.06.2020
Формат бумаги 60 × 90 1/8

Бумага типографская.
Печать офсетная. Усл. печ. л. 7
Зак. 96. Тираж 700 экз.
Цена договорная

Почтовый адрес редакции журнала:
ООО «НПФ «Экология», 190020, Санкт-Петербург, а/я 9

Тел.: +7 (921) 956-31-94
+7 (812) 719-73-30

E-mail: ecology@rdiesel.ru
www.rdiesel.ru

**ДВИГАТЕЛЕ
СТРОЕНИЕ**

Типография «Светлица»
Лиц. ПД № 2-69-618, 196158,
Санкт-Петербург, Московское шоссе, 25, 215

© Журнал «Двигателестроение». 2020. № 2 (280)

ГРАФИЧЕСКИЙ АНАЛИЗ ВОЗМОЖНОСТИ ОБЕСПЕЧЕНИЯ ОДИНАКОВОГО ХОДА ПОРШНЕЙ V- И W-ОБРАЗНЫХ ДВИГАТЕЛЕЙ С ПРИЦЕПНЫМИ ШАТУНАМИ

*А.П. Маслов, к.т.н., гл. специалист,
ГСКБД ООО «ЧТЗ-УРАЛТРАК», г. Челябинск
Ю.В. Рождественский, д.т.н., профессор, декан
М.В. Левцов, студент
ЮурГУ (НИУ) г. Челябинск*

Представлен принцип построения конструкции V- и W-образного двигателя с прицепными шатунами, позволяющий создавать условия для достижения одинакового хода поршня с главным и прицепным шатунами. Условия для достижения одинакового хода главного и прицепного поршней обеспечены за счет:

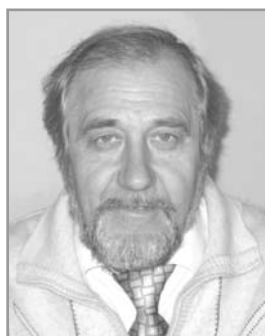
- анализа влияющих факторов на геометрические параметры КШМ;
- разработки конструктивных изменений деталей КШМ и ЦПГ, их геометрического соотношения и расположения.

Приведена математическая формула для расчета одинакового хода главного и прицепного поршней виртуального W-образного двигателя.

Введение

Уровень вибрации и шума двигателя зависит от равномерности протекания рабочих процессов и кинематических характеристик КШМ. Одним из способов снижения вибрации является создание условий для обеспечения одинакового хода поршней, соединенных с главным и прицепным шатунами в V- и W-образных двигателях.

Известно, что классическое построение кинематической схемы КШМ с прицепными шатунами не позволяет обеспечить одинаковый ход главных и прицепных поршней, что является одним из основных недостатков V- и W-образных двигателей с прицепными шатунами. Например, в двигателях семейства V-2 ход поршня с главным шатуном составляет 180 мм, а ход поршня с прицепным шатуном — 186,7 мм. Очевидно, что при разном ходе поршней возникают проблемы уравниваемости двигателя, которые частично решаются за счет корректировки объема подаваемого топлива по блокам цилиндров, что вызывает определенные технологические сложности при изготовлении и регулировке двигателя.



В этой связи предложенный метод построения кинематической схемы КШМ позволяет создать условия для обеспечения одинакового хода главного и прицепного поршней.

Основные геометрические параметры главного и прицепного шатунов, взаимное пространственное расположение базовых деталей, влияющих на характеристики хода поршней виртуального двигателя размерностью 10/12, представлены на рис. 1.

Построение кинематической схемы

Построение кинематической схемы V- и W-образных двигателей с прицепными шатунами базируется на классической теории разработки и конструирования ДВС. При этом для обеспечения одинакового хода поршней в конструкцию КШМ необходимо было внести и учесть некоторые изменения. В данной

статье авторами представлен поэтапный характер построения такой кинематической схемы.

При построении конструктивной схемы КШМ виртуального W-образных двигателя за основу был принят развал цилиндров равный 72° , также как и в двигателях W фирмы Volkswagen [1], который был принят в качестве прототипа. Конструктивная схема двигателей этого типа достаточно хорошо отработана, что подтверждается их серийным выпуском на заводах Германии.

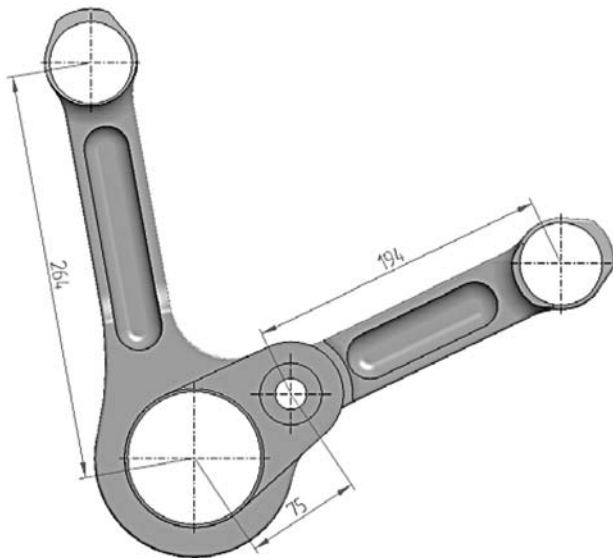


Рис. 1. Эскиз сборки главного и прицепного шатунов W-образного виртуального двигателя

Поэтому, на этапе проектирования целесообразно оценить преимущества и недостатки этой и создаваемой конструкции. При построении были использованы результаты кинематического анализа в ранее представленных работах [1, 2].

При анализе геометрических построений КШМ виртуального двигателя и двигателя прототипа, следует отметить их существенные отличия (см. схемы на рис. 2).

Алгоритм построения кинематической схемы W-образного двигателя с прицепными шатунами строился с учетом размерности двигателя [2, 3] и его конструктивных особенностей, которые были получены при выполнении построения в следующем порядке:

- из центра окружности, диаметр которой условно равен ходу поршня (в данном случае 120 мм), под углами 54 и 126 градусов, то есть в первой и четвертой четвертях окружности проводятся лучи, угол между которыми равен 72° ;

- параллельно этим лучам проводятся эквидистантные линии на расстоянии 15,5 мм (значение дезаксажа 15,5 мм было определено и выбрано согласно конструктивным особенностям и размерности разрабатываемого виртуального двигателя, с учетом исключения критических углов взаимного расположения деталей КШМ);

- из центра окружности на эти эквидистантные линии проводятся перпендикуляры. Точки пересечения перпендикуляров и эквидистантных линий — базовые для формирования линии осей цилиндров двигателя;

- из этих базовых точек под углом 10,5 градусов (значение 10,5 градуса было определено и выбрано из конструктивных особенностей разрабатываемого виртуального двигателя) сим-

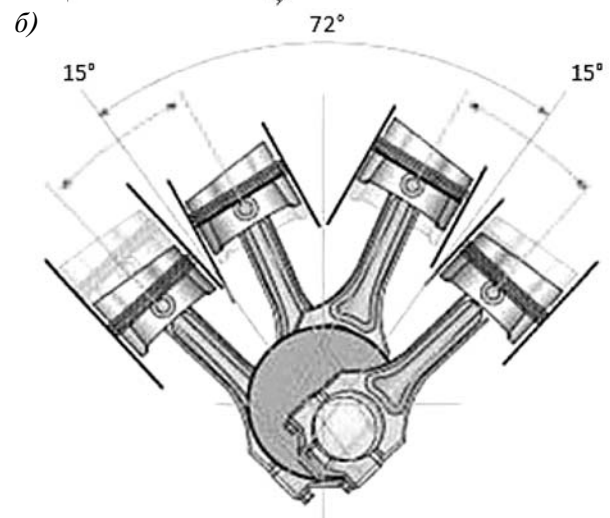
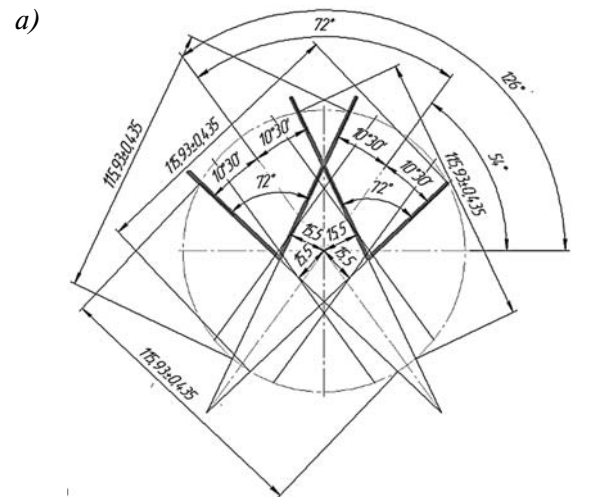


Рис. 2. Сравнительная схема определения геометрического положения осей цилиндров W-образного двигателя при создании условия обеспечения одинакового хода главного и прицепного поршней:

a — схема формирования W-образного виртуального двигателя; *b* — схема формирования W-образного двигателя фирмы Volkswagen [1]

метрично параллельным линиям проводятся лучи, которые являются осями цилиндров W-образного двигателя с прицепными шатунами.

Следует отметить, что представленная схема формирования КШМ виртуального двигателя несколько отличается от схемы, представленной авторами в работе [3]. Построение участка перпендикуляра (равного 15,5 мм), опущенного на эквидистантные линии из центра окружности, позволило упростить математическое описание условия обеспечения одинакового хода главного и прицепного поршней.

Как видно из рисунков, одинаковый ход главных и прицепных поршней может быть реализован за счет изменения расположения осей цилиндров относительно оси коренных шеек коленчатого вала. Длина каждого участка линий осей цилиндров, ограниченных окруж-

ностью условного хода поршней (120 мм для данного случая), составляет 115,93 мм. Это связано со смещением осей цилиндров относительно центра оси коленчатого вала. При этом общая картина симметрии W-образного двигателя нарушена не будет. Относительное положение некоторых элементов деталей КШМ и их взаимное расположение, полученное в соответствии с приведенной выше схемой построения, представлено ниже.

Геометрические параметры элементов КШМ, полученные на основе фундаментальных положений теории ДВС, позволяют выбрать длину главного шатуна, равную 264 мм и суммарную длину прицепного шатуна равную 269 мм при радиусе кривошипа 60 мм.

Геометрические характеристики КШМ разрабатываемого двигателя [2] были получены при анализе кинематики и углов отклонения осей шатунов относительно оси цилиндров, а также с учетом значений дезаксажа и радиуса кривошипа для обеспечения одинакового хода главного и прицепного поршней. Представленные графические материалы достаточно хорошо совпадают с результатами расчетных исследований, что позволит наглядно представить взаимное расположение элементов КШМ при их перемещении.

Ниже представлены сравнительные результаты расчетных исследований взаимного положения деталей КШМ:

➤ при положении *главного* поршня в ВМТ, угол отклонения оси главного шатуна относительно оси цилиндра φ_1 составляет: расчет — 2,739°, ЧТД — 2,75°;

➤ при положении *главного* поршня в НМТ, угол φ_2 отклонения оси главного шатуна относительно оси цилиндра составляет: расчет — 4,351°, ЧТД — 4,3°;

➤ при положении *прицепного* поршня в ВМТ, угол φ_3 отклонения оси прицепного шатуна относительно оси цилиндра составляет: расчет — 2,16°, ЧТД — 2,41°;

➤ при положении *прицепного* поршня в НМТ, угол φ_4 отклонения оси прицепного шатуна относительно оси цилиндра составляет: расчет — 3,401°, ЧТД — 3,73°.

На рис. 3 и 4 значения углов показаны по результатам геометрических построений.

Для аналитического определения хода главного поршня, были рассмотрены два прямоугольных треугольника *COE* и *BOE*, образованные условными линиями деталей КШМ при положении поршня главного шатуна в ВМТ и НМТ.

Как показано на рис. 4, катет *OE* — для этих треугольников общий, а гипотенузы *CO* и *BO* — длины кривошипа. Следовательно, эти треугольники одинаковые и длины катетов *CE* и *BE* равны и лежат на линии оси движения поршня.

Как отмечено выше и в работе [2], катет *OE* является дезаксажем и характеризует смещение оси цилиндра относительно оси коленчатого вала на 15,5 мм. Тогда длина катета *CE* равна квадратному корню разницы квадратов гипотенузы *CO* и квадрата катета *OE* и составляет 57,96 мм. Аналогично, длина катета *BE* также равна 57,96 мм.

В этом случае, длина катете *AE* будет равна $AC + CE = (264 + 57,96) = 321,96$ мм, а длина катета *DE* — $(DB - BE) = (264 - 57,96) = 206,04$ мм.

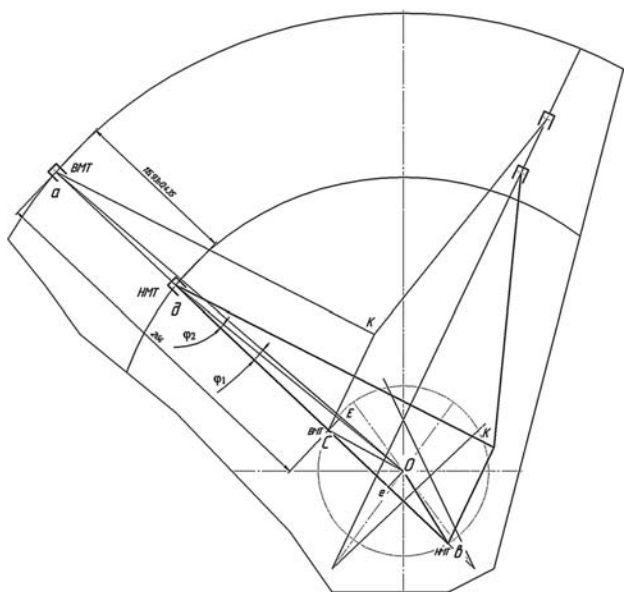


Рис. 3. Относительное расположение элементов КШМ главного и прицепного шатунов при положении в ВМТ и НМТ поршня главного шатуна

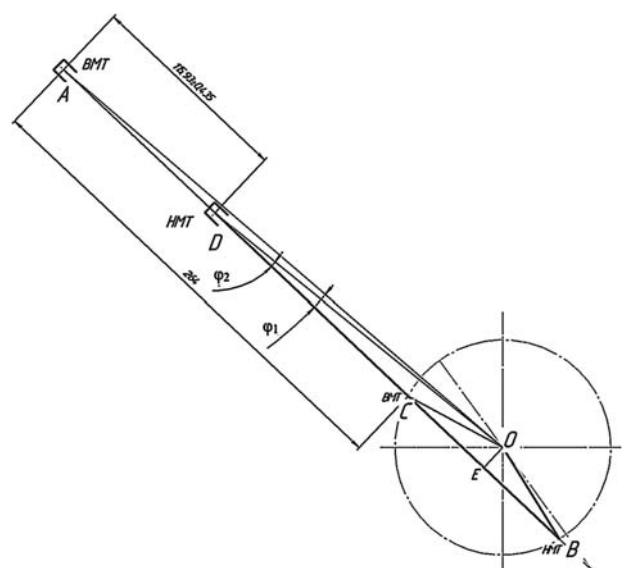


Рис. 4. Геометрическое расположение осей деталей КШМ главного шатуна при положении его поршня в ВМТ и НМТ

Разница длин катетов (длина хода главного поршня) будет:

$AE - DE = 321,96 - 206,04 = 115,92$ мм, что соответствует выше представленным кинематическим данным равным 115,93 мм.

Определение длины хода прицепного поршня (НМТ)

Дальнейший анализ по определению геометрических параметров прямоугольных треугольников для прицепного шатуна представлен на рис. 5.

Для выполнения дальнейших работ с целью проверки одинакового хода поршней на рис. 6 показаны геометрические параметры элементов треугольников, образованных условными линиями деталей КШМ и линией, совпадающей с осью цилиндра при положении поршня прицепного шатуна в НМТ.

С целью аналитического определения хода прицепного поршня рассмотрим три прямоугольных треугольника NMK , RMK и RLQ :

1. Из треугольника NMK определим длину катета MK , равную 11,51 мм, как произведение длины гипотенузы NK на синус угла $\varphi_4 = 3,401^\circ$ [2].

2. Из этого же треугольника определим длину катета MN , равную 193,658 мм, как NK на косинус угла $\varphi_4 = 3,401^\circ$ [2].

3. Из треугольника RMK определим длину катета RM , равную 74,112 мм, как квадратный корень разности квадрата гипотенузы RK и квадрата катета MK .

4. Из треугольника RLQ определим длину катета RL , равную 57,96 мм, как квадратный корень разности квадрата гипотенузы RQ (60 мм) и квадрата катета LQ (15,5 мм).

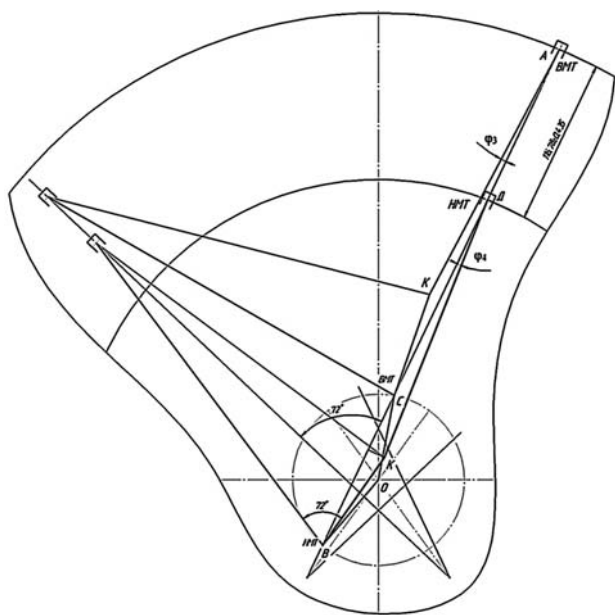


Рис. 5. Относительное расположение элементов КШМ главного и прицепного шатунов при положении в НМТ и ВМТ поршня прицепного шатуна

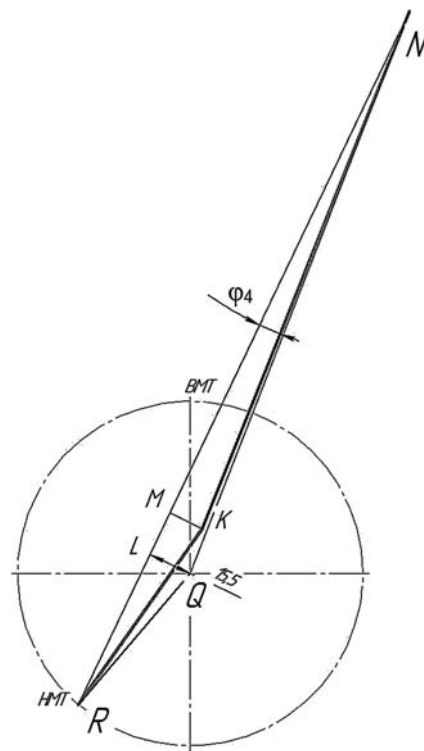


Рис. 6. Геометрическое расположение осей деталей КШМ прицепного шатуна, при его положении поршня в НМТ

5. Определим длину катета $NL = MN + RM - RL = 193,658 + 74,112 - 57,96 = 209,81$ мм;

Определение длины хода прицепного поршня (ВМТ)

Для дальнейшего выполнения работ с целью определения одинакового хода поршней, в соответствии с рис. 7, были рассмотрены геометрические размеры элементов треугольников, образованных условными линиями деталей КШМ и линии, совпадающей с осью цилиндра, при положении поршня прицепного шатуна в ВМТ.

Рассмотрим прямоугольные треугольники FKS и SGK :

1. Из треугольника FKS определим длину катета SK , равную 7,312 мм, как произведение длины гипотенузы (194 мм) на синус угла $\varphi_3 = 2,16^\circ$ [2].

2. Из треугольника FKS определим длину второго катета FK , равную 193,86 мм, как произведение длины гипотенузы на косинус угла $\varphi_3 = 2,16^\circ$.

3. Из треугольника SGK определим длину катета GK , равную 74,643 мм, как квадратный корень разности квадрата гипотенузы GS (75 мм) и квадрата катета SK .

4. Длина катета GL , равная 57,96 мм, определится как квадратный корень разности квадрата гипотенузы GQ (60 мм) и квадрата катета QL (15,5 мм).

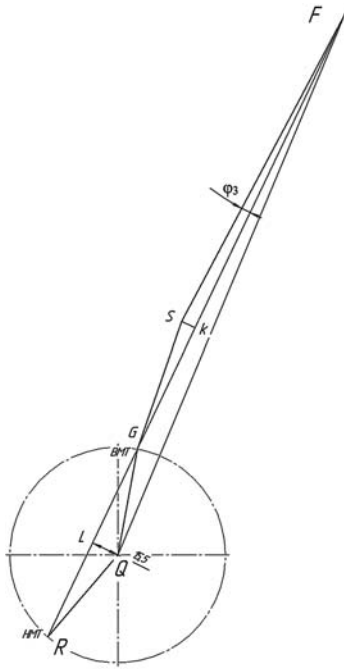


Рис. 7. Геометрическое расположение осей деталей КШМ прицепного шатуна, при положении его поршня в ВМТ

5. На следующем этапе определится длина катета FL треугольника FLQ , как сумма длин катетов: $GL + GK + FK = 57,96 + 74,643 + 193,86 = 326,463$ мм.

Таким образом, разность длин катетов (ход поршня) $326,463 - 209,2366 = 117,226$ мм.

По результатам геометрических построений различие в длине хода главного и прицепного поршней составляет 1,3 мм.

Формирование математической зависимости

Для расчетного определения длины хода главного и прицепного поршней целесообразно геометрические параметры деталей КШМ представить в удобной форме:

$L_r = 264$ мм — межосевое расстояние между верхней и нижней головкой главного шатуна;

$L_n = 194$ мм — межосевое расстояние между верхней и нижней головками прицепного шатуна;

$R = 75$ мм — расстояние между нижней головкой главного шатуна и осью серьги для прицепного шатуна;

$\phi_1 = 2,739^\circ$ — угол отклонения оси главного шатуна от оси движения поршня в ВМТ;

$\phi_2 = 4,351^\circ$ — угол отклонения оси главного шатуна от оси движения поршня в НМТ;

$\phi_3 = 2,16^\circ$ — угол отклонения оси прицепного шатуна от оси движения поршня в ВМТ;

$\phi_4 = 3,401^\circ$ — угол отклонения оси прицепного шатуна от оси движения поршня в НМТ;

$e = 15,5$ мм — дезаксаж, смещение осей цилиндров относительно оси коленчатого вала;

$r = 60$ мм радиус кривошипа;

$k = e/r$ — отношение дезаксажа к радиусу кривошипа;

$\sin \phi_{1-4}$ использованы по результатам расчетов, представленных в работе [2]:

$$\sin \phi_1 = \lambda k / 1 + \lambda = 0,048;$$

$$\sin \phi_2 = \lambda k / 1 - \lambda = 0,076;$$

$$\sin \phi_3 = \lambda k_2 / 1 + \lambda = 0,038;$$

$$\sin \phi_4 = \lambda k_2 / 1 - \lambda = 0,059.$$

Главный поршень (рис. 4):

— формула длины прилежающего катета: $AE = L_r + (r^2 - e^2)^{1/2}$ — главный поршень в ВМТ;

— формула длины прилежающего катета: $DE = L_r - (r^2 - e^2)^{1/2}$ — главный поршень в НМТ;

Ход главного поршня равен:

$$S_n = \{L_r + (r^2 - e^2)^{1/2}\} - \{L_r - (r^2 - e^2)^{1/2}\}. \quad (1)$$

Прицепной поршень в НМТ (рис. 6):

— формула длины прилежающего катета: $NM = L_n \cos \phi_4$;

— формула длины противолежащего катета: $MK = L_n \sin \phi_4$;

— формула длины катета RM треугольника RMK : $RM = \{R^2 - (L_n \sin \phi_4)^2\}^{1/2}$;

— формула длины катета RL треугольника RLQ : $RL = (r^2 - e^2)^{1/2}$.

$$LN = NM + RM - RL = L_n \cos \phi_4 + \{R^2 - (L_n \sin \phi_4)^2\}^{1/2} - (r^2 - e^2)^{1/2}. \quad (2)$$

Прицепной поршень в ВМТ (рис. 7):

— формула длины прилежающего катета FK треугольника FSK : $FK = L_n \cos \phi_3$;

— формула длины противолежащего катета $SK = L_n \sin \phi_3$;

— формула длины катета GK треугольника GSK : $GK = \{R^2 - (L_n \sin \phi_3)^2\}^{1/2}$;

— формула длины катета GL треугольника GLQ : $GL = (r^2 - e^2)^{1/2}$;

$$FL = FK + GK + GL = L_n \cos \phi_3 + \{R^2 - (L_n \sin \phi_3)^2\}^{1/2} + (r^2 - e^2)^{1/2}. \quad (3)$$

Ход прицепного поршня равен:

$$S_n = [L_n \cos \phi_3 + \{R^2 - (L_n \sin \phi_3)^2\}^{1/2} + (r^2 - e^2)^{1/2}] - [L_n \cos \phi_4 + \{R^2 - L_n \sin \phi_4\}^{1/2} - (r^2 - e^2)^{1/2}]. \quad (4)$$

Для проверки значений одинакового хода поршня достаточно определить равенство значений ходов главного и прицепного поршней по следующей зависимости:

$$\{L_r + (r^2 - e^2)^{1/2}\} - \{L_r - (r^2 - e^2)^{1/2}\} = [L_n \cos \phi_3 + \{R^2 - (L_n \sin \phi_3)^2\}^{1/2} + (r^2 - e^2)^{1/2}] - [L_n \cos \phi_4 + \{R^2 - (L_n \sin \phi_4)^2\}^{1/2} - (r^2 - e^2)^{1/2}]. \quad (5)$$

В качестве примера представлены геометрические размеры КШМ виртуального двигателя: $\{[264 + (60^2 - 15,5^2)^{1/2}] - [264 - (60^2 - 15,5^2)^{1/2}]\} - \{[194 \cos 2,16^\circ + \{75^2 - (194 \sin 2,16^\circ)^2\}^{1/2} + (60^2 - 15,5^2)^{1/2}] - [194 \cos 3,401^\circ + \{75^2 - 194 \sin 3,401^\circ\}^{1/2} - (60^2 - 15,5^2)^{1/2}]\} = 0,74$ мм.

Как видно из примера, разница хода поршней по результатам геометрических построений составляет 1,3 мм, а по результатам математи-

ческих вычислений — 0,74 мм, что говорит о хорошей сходимости результатов выполненного анализа.

Выводы

1. Выполненный анализ геометрических положений деталей КШМ позволяет оценить условия, обеспечивающие одинаковый ход поршней для V- и W-образных двигателей с прицепными шатунами.

2. Разработан алгоритм формирования кинематической схемы V- и W-образных двигателей для обеспечения одинакового хода главного и прицепного поршней.

3. Разница результатов графического анализа и математических вычислений составляет 0,625 %, что позволяет сделать вывод о правомерности их использования для определения геометрических размеров КШМ двигателя с прицепными шатунами.

4. Для окончательного формирования зависимостей обеспечивающих одинаковый ход поршней, целесообразно выполнить комплексные оптимизационные и кинематические исследования КШМ двигателя.

Литература

1. Volkswagen. Семейство двигателей W. Устройство и принцип действия. Программа самообучения 248. Перевод и верстка ООО «Фольксваген Груп Рус». 64 с.

2. Маслов А.П., Левцов М.В. Кинематический и динамический анализ КШМ W-образного двигателя с прицепными шатунами // Двигателестроение. 2019. № 3 (277). С. 27–30.

3. Маслов А.П., Левцов М.В. Анализ действующих сил в КШМ W-образного двигателя с прицепными шатунами // Двигателестроение. 2020. № 1 (279). С. 26–29.

4. Гоц А.Н. Кинематика и динамика кривошипно-шатунного механизма поршневых двигателей: учебное пособие. Владимир, 2014. 142 с.

НОВОСТИ ДВИГАТЕЛЕСТРОЕНИЯ

ЧТЗ — 87 лет: гордимся прошлым, создаем настоящее, верим в будущее

1 июня 2020 г. исполнилось 87 лет со дня пуска Челябинского тракторного завода, индустриального гиганта первых пятилеток СССР, легендарного Танкограда, крупнейшего производителя дорожно-строительной техники страны и центра бронетанкового двигателестроения России.

История ЧТЗ предприятия полна славными страницами, принесшими почет и уважение, а также многочисленные награды коллективу завода. Рождение в Челябинске тракторного гиганта способствовало бурному росту города и области. Героический труд коллектива завода в годы войны дал родному городу второе имя — Танкоград.

Сегодня ООО «ЧТЗ-УРАЛТРАК» (в составе АО «Концерн «Уралвагонзавод» входит в Госкорпорацию «Ростех») — крупное машиностроительное предприятие, работающее как единый технологический комплекс по производству колесной и гусеничной дорожно-строительной техники, а также танковых двигателей. Один из значимых и узнаваемых брендов Челябинской области.

К своему 87-летию на ЧТЗ создан существенный научно-технический задел, который позволяет предприятию производить продукцию, пользующуюся устойчивым спросом не только в России, но и за рубежом.

Завод осуществил переход от узкой специализации к выпуску широкого ассортимента дорожно-строительной техники, ориентируясь на запросы потребителей различных отраслей экономики РФ. Так, серийные машины 10-го класса тяги Б10 были дополнены техникой 11-го и 14-го класса тяги — бульдозерами Б11 и Б14. Модельный ряд фронтальных погрузчиков пополнился модификациями ПК-55, ПК-65 и ПК-70.

В настоящее время активно идет запуск в серийное производство новых моделей техники — трубоукладчика с гидравлическим приводом лебедки ТР-20В, бульдозера в легком тяговом классе Б-9, трактора Т-11 с джойстиком управлением. Бульдозер Б10М.6100 с надежным и массовым двигателем ЯМЗ прошел существенную доработку и стал наиболее востребованной машиной в модельном ряду ЧТЗ. Техника ЧТЗ имеет значительный объем локализации, с учетом установки отдельных узлов российского производства она составляет 95–98 %.



В текущем году завод планирует значительно нарастить объемы выпуска продукции, создать широкий спектр модификаций и комплектаций техники, позволяющих эксплуатировать ее в самых разных областях применения.

ЧТЗ — основное предприятие-производитель дизельных двигателей для бронетанковых войск Российской Федерации и военной бронетанковой техники отечественного производства, поставляемой в иностранные государства. Челябинские двигатели стоят на самой современной и передовой технике Концерна «Уралвагонзавод» и других предприятий отрасли: танках, самоходных установках, инженерных машинах и др.

Сегодня моторное производство выпускает повышенные объемы продукции по гособоронзаказу, ведет работу по диверсификации производства и новым научным разработкам.

«Моей главной целью является настройка гражданского и спец-производства, выполнение государственного оборонного заказа и программ военно-технического сотрудничества, продолжение работ по научно-техническим разработкам, повышение экономической эффективности работы предприятия», — говорит и.о. генерального директора ООО «ЧТЗ-УРАЛТРАК» Валерий Костюченко. «Только это и мобилизация всего коллектива дают заводу перспективы для достойной конкуренции на рынке дорожно-строительной техники и дальнейшего обеспечения российской армии самыми мощными и надежными двигателями нового поколения».

Пресс-центр ЧТЗ